

1960年
固体物理理论学习
报告汇編

晶 体 缺 陷 和
金 属 强 度

(下册)

科 学 出 版 社

內容簡介

本书为1960年在长春举办的固体物理理论学习报告会上有关晶体缺陷和金属强度問題的論文集。全书分上下两册。本书为下册，包括金属的加工硬化，金属的回复与再结晶，金属的蠕变，金属的脆性和断裂，金属塑性和金属的理論強度，辐射对金属机械性能的影响等六篇专题总结性报告。有关晶体缺陷的基本理論主要是位錯理論的总结性文章，已收入上册中。

1960年固体物理理论学习报告汇編

晶体缺陷和金属强度

(下册)

*

科学出版社出版 (北京朝陽門大街 117 号)

北京市书局出版业营业登记证字第 061 号

中国科学院印刷厂印刷 新华书店总經售

*

1963年2月第一版

书号：2684 字数：226,000

1963年2月第一次印刷

开本：850×1168 1/32

(京) 0001—3,100

印张：8 9/16

定价：1.30 元

前　　言

金属强度问题是金属物理学科中的一个重要领域，近年来这方面的发展主要表现在人们对金属晶体中各种缺陷有了更深刻的認識。可以毫不夸大地說，离开晶体缺陷是进入不了現在金属强度微观理論之門的。因此，在1960年8月由中国物理学会、中国科学院吉林分院和吉林大学联合举办的固体物理学学习报告会中，晶体缺陷与金属强度曾经列为学习的主要內容之一。現在把这次會議中报告过的有关这方面的論文彙总成集，分上下两册出版，供从事金属工作的科学技术人員和教学人員参考。

本文集上册的內容主要是介紹位錯理論基础和直接觀測位錯的某些实验技术，下册是叙述強度理論实际应用的某些方面。显然，在这样一种會議紀实的文集中，要包括整个金属强度領域中所有的重要問題是不可能的。

为了本文集的出版，會議成立了編輯委員會，由李薰、錢临照、苟清泉、柯俊、吳自良、馮端、葛庭燧、郭可信、师昌緒等九人組成。本文集上册是由錢临照同志負責編輯，下册由柯俊同志負責編輯。各論文的內容由作者負責，并不一定代表編委会的意見。

李　薰

1962年1月

目 录

(下 册)

前言.....	(iv)
金属的加工硬化.....	王业宁 (1)
金属的回复与再结晶.....	陈能寬、周邦新 (50)
金属的蠕变.....	孔庆平、李有柯 (100)
金属的脆性与断裂.....	师昌緒、馬应良 (140)
金属鬚和金属的理論強度.....	葛庭燧 (179)
輻照对金属結構材料机械性能的影响.....	
	张平、錢中柱、龙文仲 (233)

金屬的加工硬化

王业宁

近几年来，关于金属加工硬化的位錯机制已有进一步的研究，但多集中于分析密集結構金属的范性行为，特别是关于面心立方结构金属的硬化机制，已有比較清楚的图象和半定量的理論。这是因为面心立方金属的力学实验做得比較系統和完整的緣故。主要的內在規律可以掌握，理論的根据也就比較可靠。六角結構金属的实验一般都是硬化与回复現象重叠在一起。要了解硬化的規律，必須在低温下进行試驗，但目前这部分数据还太少，因而理論不如面心立方金属发展得深入。至于体心立方結構材料的加工硬化，则研究得更少(这可能因为其中杂质的 Cottrell 效应^[1]太強，純金属的范性規律难显示之故)，因而下面叙述的实验和理論主要是属于密集結構材料的。

为了定量描述加工硬化的应力应变曲綫，第一步需要闡明流变应力的理論，即在一定位錯結構下产生較大范性形变的流变应力理論。第二步是要决定位錯結構随着应变的增加而起的变化。然后結合第一步，求得 $\theta = \frac{d\tau}{d\epsilon}$ ，积分得 $\tau = \tau(\epsilon)$ 的硬化曲綫方程。

因此在本文的第一节中闡述流变应力理論，第二节列出加工硬化現象的主要实验事实，第三节重点描述几个最近发展的加工硬化理論。

本文仅限于討論单晶純金属(包括一部分稀合金)中的硬化机制。至于多晶体与合金中晶粒間界与不同取向晶粒的影响以及合金元素的影响，则另有专文討論。

一、流变应力的理論

流变应力的宏观意义是晶体中滑移开始所需的应力。在退火状态下的流变应力即一般所谓的临界切应力。从位错机制来讲，流变应力是当滑移面内有足够数量的位错在单位时间内扫过相当大的面积(其线度比位错间距离大得很多)时所需的应力。

位错运动首先要克服 Peierls-Nabarro 力^[2]。如果流变应力决定于 Peierls-Nabarro 力，则实验中观察到流变应力显著地依赖于金属的微观结构(如加工状态，杂质等因素)的现象就无法解释，因而必然有其他的原因决定流变应力。

在未加工晶体中位错的稳定状态是由位错线构成的三维空间的位错网^[3]，因为三线相交处的节点是不动的，否则三线中至少有一至二个位错线要作非守恒运动^[4]，这是很困难的。由于位错线上有张力，每一线段都是直线，当加应力到晶体时，滑移平面上的位错线段即绕节点转动而产生位错环^[5]。位错环的形成首先要克服位错线上的张力(也即是位错增殖的临界应力)，应力必须大于 Gb/l (G 为切变模量， b 为 Burgers 矢量， l 为位错线段长)，位错线才能滑出去。过去很多人^[6,7]认为晶体的临界切应力就是 Gb/l ，其中 l 不是平均位错线段长而是最长的线段长度。从临界切应力的实验数据可以求得 l 的上限。如对于铝和铜， $l_{\text{上限}} = 10^{-3}$ 厘米。由于位错网上各线段的长度是按统计规律分布的，很难想象位错线段长度有这样明确的上限。更重要的是按照这一观点，屈服应力随温度的变化应与弹性模量随温度的变化相同，也即 τ/E 应与温度无关。但很多实验证明不是这样，至少在较低温度时有显著的依赖关系。图 1 表示锌、镁、镉、铋单晶的屈服应力 τ_0 与温度的依赖关系^[8]。图 2 和图 3 表示铝^[9]和铜^[10]的流变应力(在一定加工状态下)与温度的依赖关系。纵坐标上的数值代表流变应力对于另一固定温度(铝采用 0°C，铜采用 90°K)下流变应力的比值。图 3 中曲线 2 表示 τ/E 随温度的变化，很显然，它们之间不是常数关系。

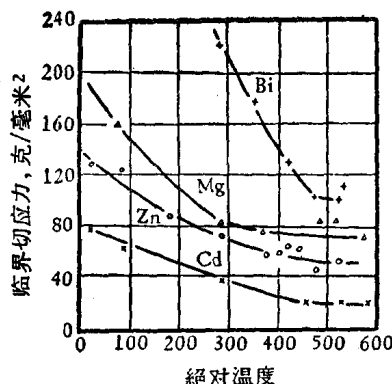


图 1. 温度对于锌、镁、镉、铋的临界切应力的影响。

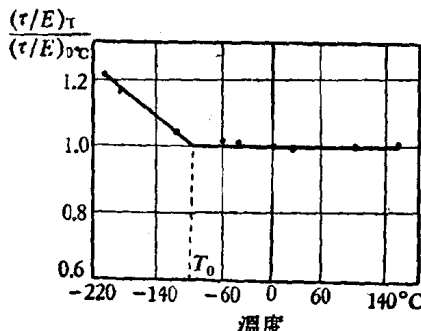


图 2. 铝单晶中流变应力与温度的依赖关系(曲线已消除弹性模量随温度的变化)。

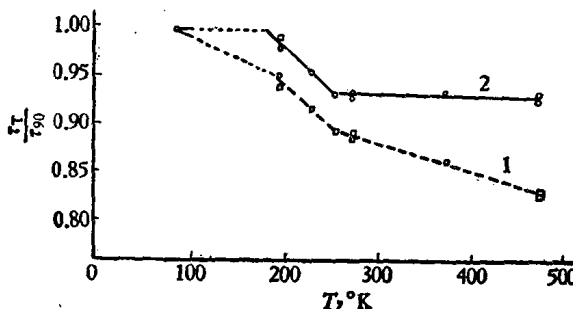


图 3. 铜单晶中流变应力与温度的依赖关系
(曲线 2 已消除弹性模量随温度的变化)。

因此对于位错线段滑动的最大阻力不是环的张力而是在滑过的面积中遇到的障碍所引起。Seeger 根据这一概念讨论了流变应力与温度、形变速率的关系^[11-13]。在纯金属中，这些障碍主要有下面两种。

(1) 周围其他位错应力场的弹性交互作用，其中最主要的是那些平行于运动位错而且有相同 Burgers 矢量的位错引起的阻力（亦称长程力）。我们称这部分阻力引起的流变应力为 τ_G ，要精确计算 τ_G 是很困难

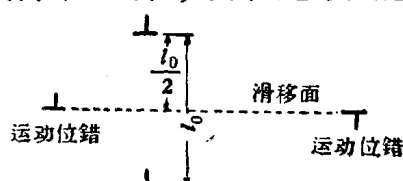


图 4.

的，必須知道位錯的分布狀況。但如僅考慮它的數量級，可以假定一個簡單模型如圖4所示：一個刃型位錯（無論正或負）在相距 l_0 的兩個同號刃型位錯中間穿過所需要的最小切應力

$$\tau_G = \frac{G}{2\pi(1-\nu)} \frac{b}{l_0}, \quad (1)$$

式中 ν 為柏松比。

同樣，對於螺旋型位錯也可得到相似的結果。兩個相距為 $l_0/2$ 的螺旋型位錯彼此相對穿過所需切應力

$$\tau_G = \frac{G}{2\pi} \frac{b}{l_0}, \quad (2)$$

與(1)式的數量級相同。

對於實際晶體， l_0 即表示位錯間的平均距離。也可用位錯密度表示。設 N' 為單位面積內穿過的平行位錯數，則

$$\tau_G = \alpha G b \sqrt{N'}, \quad (3)$$

其中 α 為一常數，決定於位錯排列的情況、柏松比 ν 及位錯的性質等。此應力作用的區間($10^3 \sim 10^4$ 個原子間距)很大。熱漲落對克服阻力的幫助很小(故稱為長程力)，因此 τ_G 對溫度的依賴關係很小，僅通過彈性模量隨溫度的改變而有一點間接的影響。

(2) 位錯切割穿過其滑移面的位錯林^[1]引起的阻力(也稱短程力)。這些位錯與滑動位錯接近正交，故彈性交互作用一般很小或者沒有。交截過程阻力作用的區間與位錯的寬度 d 相當。如為非擴展位錯， $d = b$ ；如系擴展位錯， $d = b + 2\eta_0^{[12]}$ ($2\eta_0$ 為擴展寬度)，也只有幾個原子間距，因而熱激活對於這種過程是有很大

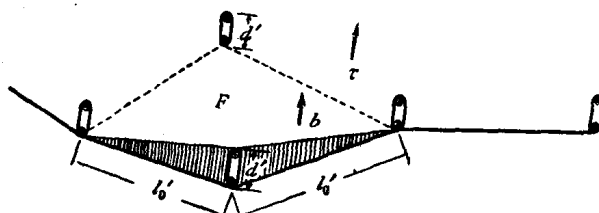


圖5. 位錯線段 l_0' 在應力 τ 的作用下切割位錯林
所需激活能的計算圖示。

作用的。在外应力作用下所需激活能根据图 5 可以求得：

$$U = U_0 - \nu(\tau - \tau_c), \quad (4)$$

式中 U_0 为没有外应力时所需激活能， ν （激活体积） $= bd l'_0$, l'_0 为位错林间距， τ 为作用在交截位错上的外应力， τ_c 为其他位错产生的弹性作用力。等式右端第二项实际为作用在位错线上的力所作的功（也即图 5 中位错扫过斜线部分面积所作的功）。

设单位时间内被激活的位错线段数为 \dot{N} ，则

$$\dot{N} = N\nu_0 \exp \left[-\frac{U_0 - \nu(\tau - \tau_c)}{kT} \right], \quad (5)$$

式中 N 为单位面积中的位错数， ν_0 应与德拜频率的数量级相当。

如果我们仅考虑一个滑移系统进行滑移，则单位时间内产生的应变

$$\dot{\epsilon} = bAN, \quad (6)$$

式中 A 为平均每一位错扫过的面积。将(5)式代入上式，

$$\dot{\epsilon} = bAN\nu_0 \exp \left[-\frac{U_0 - \nu(\tau - \tau_c)}{kT} \right]. \quad (7)$$

解之得

$$\tau = \begin{cases} \tau_c + \frac{U_0 - kT \log(NAb\nu_0/\dot{\epsilon})}{\nu} & \text{当 } T \leq T_0; \\ \tau_c & \text{当 } T > T_0, \end{cases} \quad (8)$$

而

$$T_0 = \frac{U_0}{k \ln(NAb\nu_0/\dot{\epsilon})}, \quad (9)$$

$$\tau_a = \frac{U_0}{\nu}. \quad (10)$$

当形变速率 $\dot{\epsilon}$ 为一定值， τ 与 T 的关系如图 6 所示（如 τ_c 随温度的变化也即弹性模量 G 随温度的变化暂时忽略掉）。此曲线可由三个常数 τ_c 、 T_0 及 τ_a 确定。其中 τ_a 和 T_0 与激活能有关。这理论曲线与图 1 和

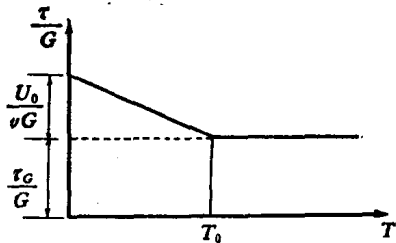


图 6. 方程(8)所表示的流变应力与温度的依赖关系。

图 2 中鋅、鎂、鎘和鋁的實驗曲線完全相似。在 T_0 以上，熱漲落使交截過程變得很容易，對流變不起阻礙作用，因而 $\tau = \tau_G$ 。在 T_0 以下，

$$\tau = \tau_s + \tau_G, \quad (11)$$

τ_s 表示由於位錯交截引起的阻礙應力。

如用兩個不同的形變速率作出兩條曲線，如圖 7 所示（圖為對鎘所作的實驗），則可得出兩個 T_0 值。代入（9）式即可求得激活能 U_0 ，與理論上計算得的刃型位錯切割位錯林的激活能相符^[14]。對鋅所做的實驗結果也與理論值符合得很好。

以上討論的都是具有高堆垛層錯能金屬^[12]的情形。低堆垛層錯能金屬如銅的應力-溫度曲線（圖 3）就比較複雜，可以分為三段，在不同溫度區間，流變應力決定於不同的激活過程。實際上當位錯環在應力作用下向外擴展時，首先與位錯林交截形成割階，然後帶有割階的位錯繼續向前滑動。在這

擴展過程中，位錯環上的刃型位錯部分與螺旋型位錯部分遇到的阻力是不同的，也即具有不同的激活過程。可以把它歸併成三種過程：（1）刃型位錯交截位錯林形成割階的激活過程。因為這些割階也是刃型的，當位錯環向前滑動時，它可以跟著滑動，引起阻力很小，因而刃型位錯擴展的阻力決定於交截時的激活能；（2）螺旋型位錯與位錯林交截時形成割階的激活過程；（3）具有割階的螺旋型位錯向前滑動時割階的運動是攀移，還需要攀移的激活能，也即自擴散激活能 $u_0 + W$ （ u_0 為形成空位的激活能， W 為空位移動的激活能）。這一過程常被割階的鋸齒狀運動過程所代替（圖 8）。由於螺旋型位錯上割階沿位錯線的滑動是很容易的（刃型位錯的割階即

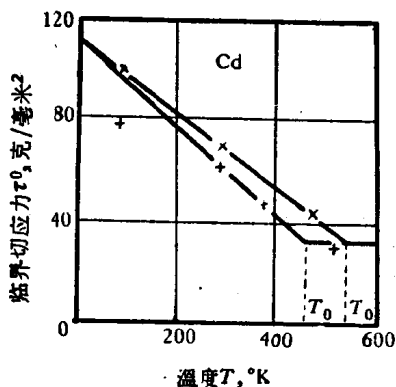


图 7. 鎘單晶臨界切應力與溫度、形變速率的依賴關係（“×”比“+”的形變速率大 100 倍）。

不可能沿位錯綫滑動，因此時為攀移方向），在不平衡的外應力與內應力作用下，割階可以不停地在位錯綫上來回滑動。在滑動過程中，由於熱激活而產生的空位使割階向前跳一步，同時又使它很快地離開空位，這樣就不需要空位移動的激活能。因此通過割階的鋸齒狀運動可以使螺旋型位錯向前擴展比較容易，所需激活能即為空位形成的激活能 u_0 。

以上三種過程的激活能各不相同，每一種激活過程引起的流變應力與溫度關係相當於圖 6 所示的一條曲線。三條曲線的 τ_c 相同而 τ_s 不同，因而低溫部分三條曲線不重合。在不同的溫度範圍，究竟哪一個過程起決定作用，也即真正的 τ 值由哪一個決定，可根據下列兩原則確定：

(1) 無依賴關係的二過程，如位錯環的刃型位錯與螺旋型位錯部分，在擴展過程中需較小應力者起決定作用。因為位錯環上只要有一部分能滑動時位錯環即得擴展而產生流變。如圖 9 所示，當刃型位錯部分向前滑動較快時，位錯環即沿 Burgers 矢量 b 的方向伸展，此時流變應力決定於刃型位錯交截位錯林的激活過程。

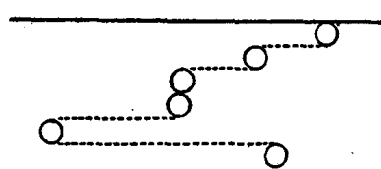


圖 8. 螺旋型位錯上割階的鋸齒狀運動。

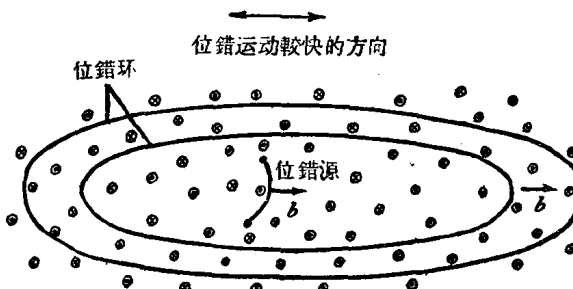


圖 9. 位錯環切割位錯林而擴展的示意圖
(當刃型部分比螺旋型部分運動得快的情形)。

(2) 有依賴關係的，如螺旋型位錯交截位錯林形成割階與螺旋型位錯上割階作鋸齒狀向前運動時，需較大應力者起決定作用。因

为螺型位错部分要扩展出去，两过程缺一不可。

对于高层错能的金属(如锌, 镁, 钨, 铝)扩展位错的宽度很窄($d \approx b$), 三种过程的激活体积 v 基本相同。根据(9)和(10)式, 激活能 U_0 较大的过程对应的 T_0 和 τ_a 也大, 也即三条曲线不会相交, 因而在所有温度范围内, 只有一种激活过程起决定作用。应力-温度曲线应属于图 6 的类型, 与实验(图 1, 2)符合得很好。求得的激活能 U_0 与理论计算所得刃型位错交截位错林形成割阶的能量相符, 这可能是因为六角晶体中的割阶有两个原子间距^[15], 因此当螺型位错上的割阶向前攀移时, 要同时产生一对点缺陷, 需要的能量较高。这样, 刀型位错的滑动就成为比较容易的过程, 也即是产生滑移的主要过程。

对于低层错能的金属(如贵金属)^[16], 扩展位错的宽度较大。根据层错能与不同位错间斥力的平衡, 计算得 $d \approx 10b$ ^[17], 因而这种过程的 v 不相同情况就复杂了。

为了比较三种过程的温度依赖关系, 我们用符号(1), (2), (3), 标在物理量的右上角, 以表示不同过程中相应的量, 则因 $I^{(1)}$, $I^{(2)}$ 和 $I^{(3)}$ 基本相同, 而 $d^{(1)}$ 和 $d^{(2)}$ 几为 $d^{(3)}$ 的 10 倍, 故 $v^{(1)} \approx v^{(2)} \approx 10v^{(3)}$ 。

又因 $U_0 = H_0 - TS$, (8)式可写成

$$\tau = \begin{cases} \tau_G + \frac{H_0 - T [S + k \log (NA b v_0 / \dot{\epsilon})]}{v} & \text{当 } T \leqslant T_0, \\ \tau_G & \text{当 } T > T_0, \end{cases} \quad (8)'$$

$$T_0 = \frac{H_0}{S + k \log (NA b v_0 / \dot{\epsilon})}, \quad (9)'$$

$$\tau_a = \frac{H_0}{v}. \quad (10)'$$

以铜为例, 求得三过程的 H_0 如下:

$$H_0^{(1)} = \text{两个刃型位错的收缩能} = 2 \times 3.9 = 7.8 \text{ 电子伏}.$$

$$H_0^{(2)} = \text{螺型位错上的收缩能} + \text{割阶在刃型位错上的能量} + \text{刃型位错的收缩能} = 0.84 + 0.2 + 3.9 = 4.9 \text{ 电子伏}.$$

$$H_0^{(3)} = \text{空位的形成能减去空位附在一不全位错上的结合}$$

能 = $U_0 - U_3 = 0.9 - 0.04 = 0.86$ 电子伏.

熵 $S^{(1)}, S^{(2)}$ 都很小, 而且难估计其符号.

$S^{(3)} = 3.4k$ (根据热膨胀和空位周围点阵振动熵用电阻法测量求得).

对数项三过程除 A (位错扫过的面积)以外, 其他数值相差不多, 而 $A^{(1)}, A^{(2)}$ 约为 $A^{(3)}$ 的 $10^3 - 10^4$ 倍. 取较慢的形变速率 $\dot{\epsilon} = 10^{-4}/\text{秒}$, 并以合理的数值代入 N, b 和 v_0 , 可求得第(1), (2)过程的对数项数值为 32, 第(3)过程的对数项为 24. 按(9)'式可求得

$$kT_0^{(3)} = k \frac{H_0}{S + k \log (NAbv_0/\dot{\epsilon})} = \frac{0.86}{3.4 + 24} \text{ 电子伏} = k364^\circ\text{K},$$

即 $T_0^{(3)} = 364^\circ\text{K}$. 同样, $T_0^{(1)} = 2600^\circ\text{K}$, $T_0^{(2)} = 1600^\circ\text{K}$. 因 $H_0^{(1)} = 7.8$, $H_0^{(3)} = 0.86$, $d^{(1)} = 10d^{(3)}$, 故 $H_0^{(1)}/d^{(1)} \leq H_0^{(3)}/d^{(3)}$, 即 $\tau_a^{(1)} \leq \tau_a^{(3)}$, 而 $T_0^{(1)} > T_0^{(3)}$, 故 1 与 3 两线必相交. 同样, $\tau_a^{(2)}$ 最小, $T_0^{(2)}$ 最大, 2 与 3 也必相交如图示. 根据前面二原则, 在 T_1 以下, 刃型位错的运动为决定过程; 在 T_1 以上, 螺型位错的运动起决定作用. 但因 2 与 3 有依赖关系, 在 $T_1 < T < T_2$ 的范围, (3) 为决定过程; $T_1 > T_2$ 时(2)为决定过程. 因此, 图 10 上的粗黑线

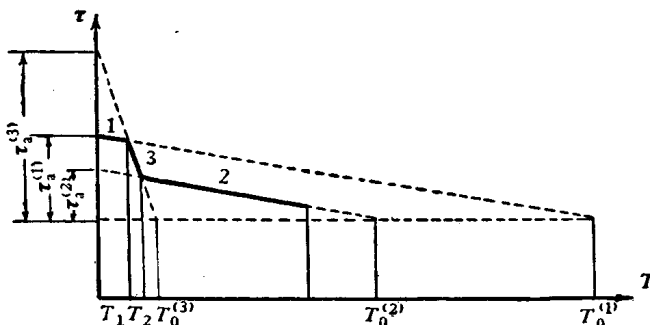


图 10. 低堆垛层错能金属中流变应力与温度依赖关系的示意图.

表示真正的 $\tau-T$ 关系. 铜单晶的实验曲线(图 3)也发现有二弯折处: $T_1 = 180^\circ\text{K}$, $T_2 = 250^\circ\text{K}$, $T_0^{(3)}$ 可用作图法求得为 350°K , 与理论值 364°K 符合很好.

关于稀合金的流变应力，在体心立方系中，合金元素使屈服应力显著升高，一般用 Cottrell 气团来解释^[1]。但在密集的面心立方系和六角系晶体中，这种杂质原子与位错的交互作用是很微弱的，流变应力的升高应该是有其他的原因。Seeger 认为^[18]，由于杂质的存在，使晶体成长过程中形成的位错变多，也即增加了 N ，减少了 l'_0 ，故而提高了流变应力。这样纯金属中应力-温度关系的理论全部可用于合金，仅 l'_0 和 N 有改变。实验证明， $\tau-T$ 曲线在稀合金中的形状与纯金属中完全相同，而体心立方合金中（如铁碳合金）的应力与温度的依赖关系要比密集系显著得多，因此两种机制应属不同。

二、关于加工硬化的主要实验事实

前面已提到由于过去的理论都是研究密集结构金属的范性行为，比较定量的只有面心立方结构的金属。因而下面叙述的实验事实仅限于密集结构的金属。

1. 面心立方结构金属的应力-应变曲线

Diehl 等^[18]根据许多人的实验（金，银，镍，铜，铝等）总结出面

心立方金属的应力-应变曲线，一般可以分为三个阶段，如图 11 所示为典型的加工硬化曲线。

第一阶段又称易滑移区，硬化系数 θ_1 很小；第二阶段硬化系数 θ_2 最大，且为一常数，故又称线性硬化区。 θ_2 对于各种面心立方金属具有相同的数量级 ($\approx 4 \times$

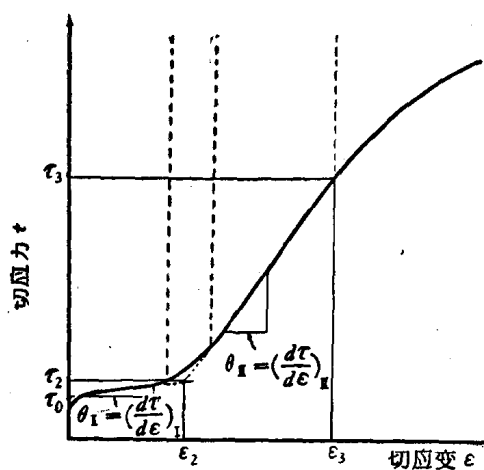


图 11. 面心立方金属应力-应变曲线的示意图。

10^{-3}); 第三阶段硬化系数 θ_3 随形变的增加而逐渐减小, 故又称抛物线性硬化区。令 τ_0 为临界切应力, τ_2, τ_3 分别表示二、三阶段开始的应力; ϵ_2, ϵ_3 分别表示二、三阶段开始的应变量。

曲线的形状随温度、取向和杂质含量的不同而有很大的变化。图 12a 和 b 分别表示相同取向的铜单晶和镍单晶^[21]在不同温度下的加工硬化曲线。从图中可以看出各参量随温度的变化。温度升高时 τ_0 略有降低, 而 τ_3 显著降低(图 13), ϵ_2 和 ϵ_3 变短(图 14), θ_1 和 θ_2 与温度关系不大而 θ_3 随温度升高而减小。

图 15a 和 b 分别表示铜^[22]和金^[23]单晶在各种取向时的加工硬化曲线。取向标在极射投影三角形中。图 15a 中的短线标志第二阶段的开始与终了。从图中可以看出 τ_0, τ_2, τ_3 和 θ_2 与取向关系不大, 而 θ_1 和 ϵ_2

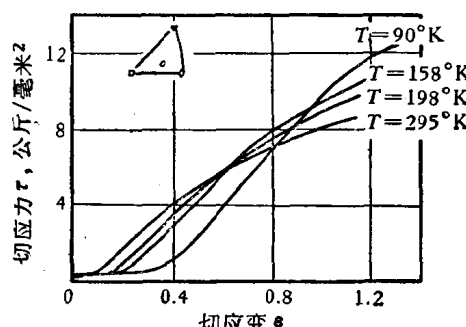


图 12a 相同取向的铜单晶在不同温度下的应力-应变曲线。

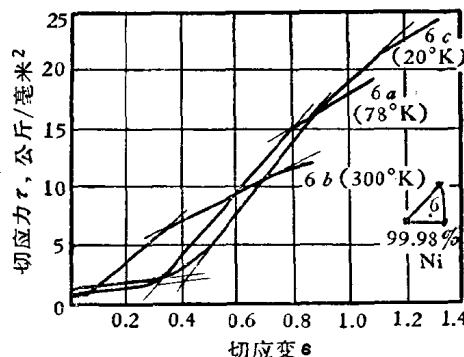


图 12b 相同取向的镍单晶在不同温度下的应力-应变曲线。

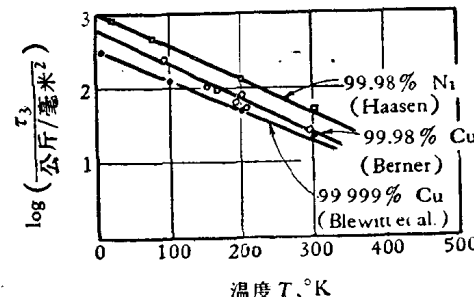


图 13. 镍和铜单晶中 τ_3 与温度的依赖关系。

則显著依賴于取向，有的取向的第一阶段几乎不出現 ($\epsilon_2 = 0$)，因而在过去一直都認為面心立方晶体的硬化曲綫是一条抛物綫。图

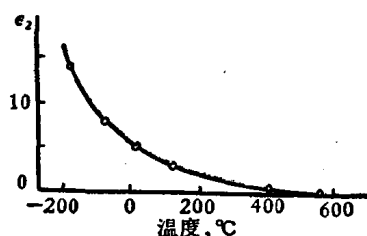


图 14. 銅单晶易滑移区的形变度 ϵ_2 与溫度的依賴关系^[23]。

16a—f^[23] 表示銅单晶在室温下各參量与取向的依賴关系。在三角形中，虛線包围的区域表示參量最小值的取向范围。当取向朝着三角形的頂点和斜边 AB 方向变化时，这些參量的数值逐渐增加，可以看到 θ_1 和 ϵ_2 的变化特別大。

合金元素的加入使第一阶段 (ϵ_2) 变长。图 17 为各种成分的金銀合金的硬化曲綫^[24]。从图中可以看到 τ_3 随銀含量的增加而逐渐提高，但銀含量对 θ_2 几毫无影响。

以上所述是以低堆垛层錯能金属(如金，銀，銅)为例的情况。至于高堆垛层錯能金属如鋁的应力-应变曲綫在液态空气温度下与銅在室温下的情况完全相似(图略)，一般也有明显的三个阶段。但在室温时鋁中沒有明显的第二阶段， $\theta_{\text{最大}}$ 只有一点。与銅的差异不能只用熔点的差別来解释，因为液态空气温度(78°K)与室温几相差 4 倍，而熔点比为 1.5 倍，故必須用堆垛层錯能的差异来解釋(以后要詳述)。

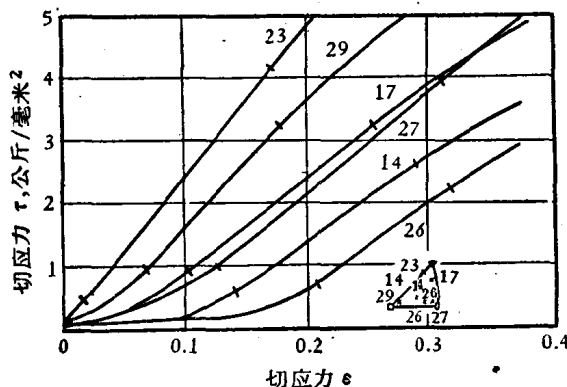


图 15a. 銅单晶在室温下应力-应变曲綫与取向的依賴关系。短綫表示第二阶段的始端与末端，取向标在极射投影三角形中。

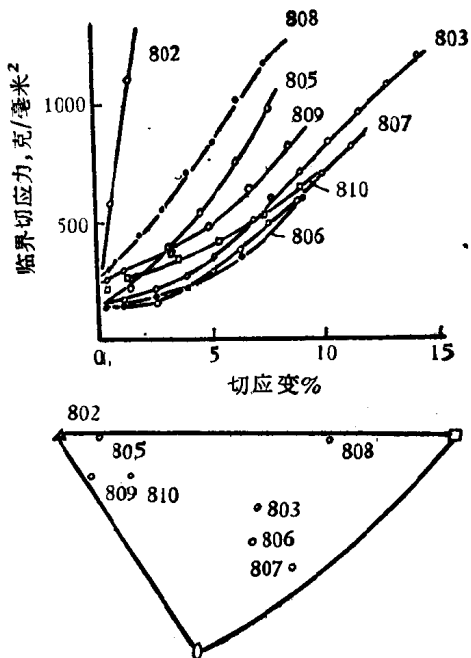


图 15b. 金单晶在室温下应力-应变曲线与取向的依赖关系。

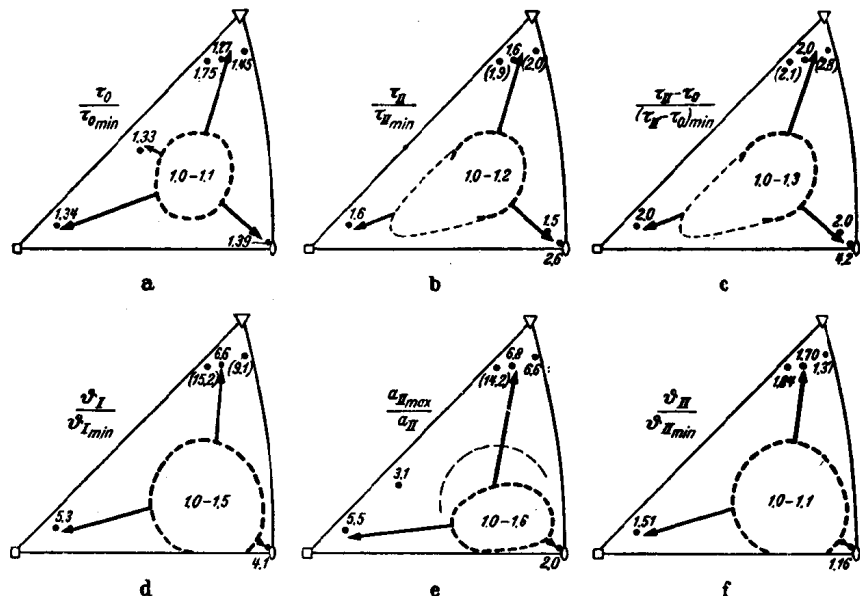


图 16a-f. 铜单晶在室温时硬化曲线上各参数对取向的依赖关系。